

# بررسی رفتار قاب‌های فولادی با ستون‌های پر شده با بتن (CFT) در دو حالت سازه مهاربندی شده همراه با میراگرهای اصطکاکی دورانی و سازه بدون مهاربند و میراگرهای اصطکاکی دورانی

علی ستاری<sup>۱</sup>، احمد ملکی<sup>۲\*</sup>، محمدعلی لطف‌اللهی‌یقین<sup>۳</sup>

- ۱- دانشجوی دکتری مهندسی عمران گرایش زلزله، دانشکده مهندسی عمران، دانشگاه آزاد اسلامی واحد مراغه، مراغه، ایران
- ۲- استادیار، دانشکده مهندسی عمران، دانشگاه آزاد اسلامی واحد مراغه، مراغه، ایران
- ۳- استاد، دانشکده مهندسی عمران، دانشگاه تبریز، تبریز، ایران

\*A.maleki@iau-maragheh.ac.ir

تاریخ پذیرش: ۹۹/۱۲/۲۷

تاریخ دریافت: ۹۹/۴/۱۷

## چکیده

میراگرهای اصطکاکی دورانی، نوع خاصی از میراگرهای اصطکاکی که دارای مزایای متعدد هستند. میراگرهای دورانی به منظور بهبود رفتار چرخه‌ای سازه‌ها در برابر بارهای ناشی از باد و زلزله مورد استفاده قرار می‌گیرند، این نوع میراگرهای دورانی و باز دوران خود موجب استهلاک انرژی می‌شوند. در این پژوهش، به بررسی مقدار جایه‌جایی و برش پایه سازه قاب‌های فولادی با ستون‌های پُر شده با بتن (CFT) در دو حالت سازه مهاربندی شده همراه با میراگرهای اصطکاکی دورانی و سازه بدون مهاربند و میراگرهای اصطکاکی دورانی پرداخته شده است. قاب مرکب فولادی (با ستون‌های CFT) مهاربندی شده تحت اثر رکورد یازده زلزله حوزه نزدیک، در نرم‌افزار ETABS مدل‌سازی، تحلیل و طراحی شده است. استفاده از مهاربند به همراه میراگرهای اصطکاکی دورانی، جایه‌جایی مرکز جرم با سازه را تحت اثر یازده رکورد زلزله مورد بحث در نرم‌افزار اجزاء محدود ETABS برای نه رکورد نسبت به حالت بدون میراگر بین ۱۳ تا ۴۹ درصد کاهش و برای دو رکورد افزایشی بین ۲ تا ۱۷ درصد داشته است. استفاده از مهاربند به همراه میراگرهای اصطکاکی دورانی برای هشت رکورد باعث کاهش برش پایه سازه به میزان ۱۱ تا ۳۷ درصد شده است. و در سه رکورد باعث افزایش برش پایه به میزان ۳ تا ۲۶ درصد شده است.

سپس یک قاب یک دهانه یک طبقه با همان مصالح و مشخصات در نرم‌افزار اجزاء محدود ABAQUS مدل سازی شده است. برای بارگذاری جانبی ستون‌ها از پروتکل بارگذاری جانبی بر اساس ATC-24 و دستورالعمل استفاده از میراگرهای در طراحی و مقاوم سازی ساختمانها استفاده شده است. با توجه به ضابطه شماره ۷۶۶ سازمان برنامه و بودجه برای جایه‌جایی ایجاده شده در اثر رکورد یازده زلزله معرفی شده در نرم‌افزار از سیکل‌های بارگذاری با فرکانس معادل ۱.۱۵T در نرم‌افزار اجزاء محدود ABAQUS استفاده شده است. استفاده از مهاربند و ETABS

میراگر اصطکاکی دورانی در نرم افزار اجزاء محدود ABAQUS تحت اثرهای رکوردهای مورد بحث جابه‌جایی سازه را نسبت به سازه بدون مهاربند و بدون میراگر اصطکاکی دورانی به مقدار ۱۶ تا ۳۳ درصد کاهش داده است. استفاده از مهاربند به همراه میراگر اصطکاکی دورانی در نرم افزار اجزاء محدود ABAQUS تحت اثرهای رکوردهای مورد بحث باعث کاهش برش پایه شده است. مقدار کاهش نیرو برای رکوردهای زلزله‌های مورد بحث یکسان نبوده و این مقدار از ۸ تا ۳۴٪ درصد متغیر بوده است. نمودارهای هیسترزیس برش پایه سازه‌های مهاربندی شده را در دو حالت سازه با میراگر و بدون میراگر را به خوبی نشان داده‌اند.

**واژگان کلیدی:** قاب‌های خمسمی فولادی مرکب، استهلاک انرژی، سختی، میراگر اصطکاکی دورانی، منحنی هیسترزیس.

## ۱- مقدمه

مشخص شدن معایب روش‌های طراحی که بر پایه مقاومت بودند پژوهشگران روش‌های طراحی بر اساس عملکرد را توسعه داده‌اند و ضوابط جدیدی را به طراحی سازه‌ها افزوده‌اند. قاب‌های ساختمانی را می‌توان به دو گروه تقسیم کرد. گروه اول سختی جانبی بالایی دارند و به سادگی ضوابط جابه‌جایی را ارضاء می‌کنند ولی دارای شکل پذیری پایینی هستند و توانایی مستهلك کردن انرژی زلزله به میزان مناسب را ندارند. گروه دوم سازه‌ایی هستند که شکل پذیری مناسبی دارند اما به دلیل سختی جانبی کمی که دارند ضوابط مربوط به جابه‌جایی را ارضاء نمی‌کنند. برای ارضاء ضوابط آینه نامه قاب با شکل پذیری بالا طراحی می‌شود و برای تامین سختی جانبی و مستهلك کردن انرژی باد و زلزله از مهاربند به همراه میراگر استفاده می‌شود. زهرا و بیات در پژوهش‌های خود نشان دادند که میراگرهای اصطکاکی می‌توانند انرژی زلزله را به خوبی مستهلك نموده و تغییر مکان‌های سازه را کنترل نماید.

یک راه حل مناسب برای رفع مشکل عدم توازن بین شکل پذیری و سختی در قاب‌های معمول استفاده از میراگرهای [2].

میراگرهای را به سه گروه فعال، نیمه‌فعال و غیرفعال می‌توان تقسیم بنده نمود. سیستم‌های غیرفعال نیز بیشتر در دو گروه تقسیم‌بنده می‌شوند:

- ۱- مستهلك کننده‌های وابسته به سرعت حرکت مانند میراگرهای ویسکوز
- ۲- مستهلك کننده‌های وابسته به تغییر مکان مانند میراگرهای اصطکاکی [3].

بعد از زلزله ۱۹۹۴ نورثیچ و ۱۹۹۵ کوبه، هرچند سازه‌ها سطوح عملکرد آستانه‌ی فروریزش و اینمنی جانی که مد نظر آینه نامه‌ها بود، تامین کرده بودند، خسارت مالی بسیاری به دلیل آسیب‌های عمده در المان‌های سازه‌ای و غیرسازه‌ای، در سازه‌ها به وجود آمده بود. برای کاهش آسیب‌های ناشی از زلزله، وسایل متنوع مستهلك کننده انرژی در سازه‌ها مورد استفاده قرار گرفته است. سیستم‌های لرزه‌بر قاب‌خمسمی و قاب‌های مهاربندی شده هم محور از دیرباز در سازه‌های فولادی مورد استفاده قرار گرفته‌اند. سختی و شکل پذیری دو عامل مهم و تاثیرگذار در پاسخ سازه‌ها به نیروی ایجاد شده در اعضای قاب هستند.

اولین بار میراگر اصطکاکی دورانی در سال ۲۰۰۰ در رساله دکترای Mualla [1] معرفی شد. میراگرهای اصطکاکی دورانی برای بهبود رفتار چرخه‌ای سازه‌ها می‌توانند بسیار مفید باشند. این میراگرهای از روی هم قرارگیری صفحات فلزی تشکیل می‌شوند به سادگی قابل نصب بوده و مشخصات هندسی آن‌ها مانند طول، عرض و ضخامت ورق بر اساس ظرفیت مورد نیاز طراحی و محاسبه می‌شوند. این میراگرهای بر اساس اصطکاک بین سطوح عمل می‌کنند و با جمع شدن و یا باز شدن باعث استهلاک انرژی ناشی از اصطکاک می‌شود. تامین شکل پذیری سازه‌ها متأثر از رفتار غیر خطی اعضا و اتصالات آن در زمان وقوع زلزله است. تعمیر و بازسازی سازه‌ها بعد از آسیب در زلزله دارای هزینه‌های قابل ملاحظه‌ای است.

میراگرهای اصطکاکی دورانی جزء سیستم‌های غیرفعال هستند. این میراگرهای هنگام زلزله شدید تحت بار لغزش از پیش تعیین شده انرژی زلزله را با اصطکاک مستهلك می‌کنند با

[12] قابلیت جایگرین شدن را داراست. Loan, Stratan مطالعه روی تیر پیوند قابل تعویض انجام دادند و به نتایج قابل قبولی دست یافتنند. Feng, Wang [13] از یک نوع میراگر فنری در بال پایینی تیر در محل اتصال به ستون استفاده کردند. Di, Piluso [14] از نوعی میراگر اصطکاکی در محل اتصال بال پایینی تیر به ستون استفاده نمودند. Dong, Jia [15] برای بهبود پاسخ سازه در برابر زلزله از بادبند با دو نوع فولاد متفاوت استفاده کرده و با نتایج عددی نشان دادن که این سیستم می تواند Kariniotakis [16] با استفاده از نرم افزار OpenSees به بررسی نتایج حاصل از طراحی سازه ۱۰ و ۲۰ طبقه با و بدون میراگر مطابق با Eurocode 8 پرداختند. Piluso, Paciello [17] از میراگر در محل اتصال بال پایینی ستون به پل و بادبند chevron استفاده نموده و به بررسی نتایج بارگذاری چرخه ای پرداختند. Qiu, Zhang [18] به بررسی آزمایشگاهی نوع جدیدی از میراگر در ابعاد واقعی تحت بار چرخه ای پرداختند. Sepahvand, Kusunoki [19] به بررسی طراحی پلاستیک قاب خمی با جلوگیری و کنترل سازوکارهای خرابی نامطلوب پرداختند. Taiyari, Bagheri [20] یک سیستم مهاربند جدید که از عناصر U شکل تشکیل شده است را معرفی نمودند. که قعطات U شکل بعد از زلزله به راحتی قابل تعویض هستند و هزینه کمی برای اصلاح نیاز دارند. Mualla, Mousavi [21] رفتار قاب های فولادی با میراگرهای اصطکاکی دورانی با روش ET زمان دوام را مورد بررسی قراردادند و کاربرد روش ET را در تحلیل لرزه ای غیرخطی قاب های فولادی را مورد بررسی قرار دادند و دقت روش ET در پیش بینی پاسخ سازه در تحلیل غیر خطی بررسی شده است. Taiyari, Mazzolani [22] طراحی بهینه میراگرهای اصطکاکی در قاب های فولادی چند طبقه مهاربندی شده با بادبند شورن را مورد مطالعه قراردادند. Li, Zhang [23] به بررسی عملکرد قاب فولادی با ستون های میانی دارای میراگر اصطکاکی پرداختند. این سیستم دارای ظرفیت اتلاف انرژی مطلوبی است.

لطف الله یقین و خالقی [4] بهسازی لرزه ای ساختمان های با قاب خمی فولادی معمولی توسط میراگرهای ویسکوز مایع را مورد مطالعه قراردادند. و نتیجه گرفتند، ساختمان های مورد مطالعه و بررسی که توسط ویرایش دوم استاندارد ۲۸۰۰ طراحی شده بودند، جوابگوی سطح عملکرد اینمی جانی دستور العمل بهسازی لرزه ای نیستند ولی با افزودن میراگرهای ویسکوز مایع همه آنها جوابگوی این سطح عملکرد خواهند بود.

میرباقری و آقاکوچک [5] بررسی تفاوت عملکرد میراگرهای اصطکاکی دورانی در قاب های خمی و قاب های ساده فولادی را مورد مطالعه قرار داده و نتیجه گرفتند که با افزودن میراگر به قاب های ساده مهاربندی شده، تغییر مکان کلیه طبقات افزوده شده است. این در حالی است که در قاب های خمی با افزودن میراگر به سازه، تغییر مکان کلیه طبقات کاهش یافته. و افزایش میراگر به قاب خمی نسبت به قاب ساده دارای صرفه اقتصادی بوده و باعث افزایش میرایی سازه می شود.

مقدم و حسینی گله کلائی [6] یک روش موثر برای توزیع بهینه مقاطع در قاب های خمی فولادی تحت اثر زلزله را مورد مطالعه قرار دادند و نتیجه گرفتند که در همه حالات، با استفاده از روش پیشنهادی می توان درجهت بهبود عملکرد سازه و همچنین کاهش وزن سازه گام برداشت.

یاسمی و شایانفر [7] به بررسی عملکرد لرزه ای میراگرهای اصطکاکی دورانی تحت زلزله حوزه نزدیک پرداختند و نتیجه گرفتند که استفاده از میراگر اصطکاکی دورانی باعث کاهش سرعت طبقات می شود. همچنین با کاهش میزان جابه جایی باعث کاهش خسارت به اجزای سازه ای مانند تیر و ستون ها می شود. باقری و حدیدی [8] تعیین مشخصه بار لغزش میراگرهای اصطکاکی در طبقات مختلف قاب های ساختمانی بر اساس شکل پذیری هدف را مورد مطالعه قرار دادند.

Huan, Lin [9] یک اتصال جدید تیر به ستون را معرفی کردند. Qu, Qiu [10] یک میراگر U شکل را مورد آزمایش و مطالعه قراردادند که بعد از وقوع زلزله قابل تعویض است. Guo [11], Shahrooz مطالعه و بررسی، روی میراگرهایی در چهار طرف ستون روی صفحه ستون انجام دادند که بعداز وقوع زلزله

جدول ۲. ویژگی‌های مکانیکی مصالح فولاد

$\rho$ (Kg/m <sup>3</sup> )	7850
E(GPa)	196.133
$v$	0.30
f (MPa)	393 ~ 479
Plastic Strain	0.015

Table 2. Material and mechanical properties for Steel

### ۳- درستی آزمایی

برای درستی آزمایی کار انجام شده در نرم‌افزار ABAQUS از مطالعات آزمایشگاهی Nielsen Mualla [24] مربوط به نمونه‌های بکار رفته در ساختمانی به ارتفاع ۳۰۰ متر در شهر Osaka ژاپن استفاده شده است.

۱. مقایسه منحنی‌های هیسترزیس آزمایشگاهی و اجزاء محدود

۳۰۰

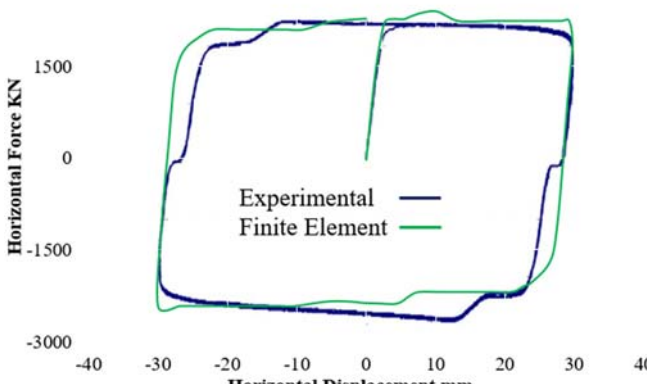


Fig. 1. Comparison of experimental and Finite Element

نتایج تحلیل اجزاء محدود با نتایج ارائه شده برای نمونه آزمایشگاهی که در شکل (۱) نشان داده شده است سازگاری داشت.

### ۴- معرفی مدل بررسی در نرم‌افزار ETABS

ابتدا سازه به ابعاد  $11/5 \times 22/5$  متر و ارتفاع ۱۶ متر با سه دهانه درجهت عرض و پنج دهانه در جهت طول و در چهار طبقه (سازه با پنج سقف) به صورت قاب خمثی مدل سازی و بارگذاری شده است. سازه براساس ویرایش چهارم استاندارد ایران و مبحث دهم مقررات ملی ساختمان تحلیل و طراحی شده است.

### ۲- مشخصات مصالح مصرفی

با توجه به پژوهش‌های گذشته، در جدول (۱) ویژگی‌های مکانیکی و مقاومتی بتن برای شرایط استاتیکی و دینامیکی ارائه شده است. همچنین با توجه به تحقیقات گذشته، در جدول (۲) ویژگی‌های مکانیکی و مقاومتی فولاد ارائه شده است.

جدول ۱. ویژگی‌های مکانیکی مصالح بتن

Label	Static	Dynamic
E (GPa)	27	27*1.15
$\rho$ (Kg/m <sup>3</sup> )	2400	2400
$v$	0.20	0.14
$f_t$ (MPa)	3.9	3.9*1.5
$f_c$ (MPa)	13~15	13~15
Dilation Angle	38	38
Eccentricity	0.1	0.1
Fb0/fc0	1.12	1.12
K	0.666	0.666
Viscosity Parameter	0.0001	0.0001

Table 1. Material and mechanical properties for concrete

در گام سوم چون میراگرهای اصطکاکی جزئی از مهاربند هستند در هنگام بارگذاری اولیه که میراگر اصطکاکی هنوز دچار لغزش نشده است سختی کل مهاربند و میراگر اصطکاکی برابر سختی عضو مهاربندی خواهد بود. با فرض خطی بودن شکل مُد اول، سختی مورد نیاز برای تغییر مکان هدف محاسبه شده است. با داشتن سختی موجود و سختی لازم در طبقات می‌توان سختی مهاربند را تعیین نمود.

مقدار نیروی لغزش میراگر اصطکاکی دورانی باید به اندازه‌ای باشد که میراگر قبل از کمانش مهاربند دچار لغزش شود. و از نیرویی که در اثر باد در سازه ایجاد می‌شود باید بیشتر باشد. با استفاده از نتایج و خروجی‌های ETABS در این مرحله سختی و سطح مقطع مهاربند مورد نیاز محاسبه شده است. مقدار سختی ETABS جانبی طبقات برای سازه در گام اول که توسط نرم‌افزار محاسبه شده در جدول (۴) نشان داده شده است.

جدول ۴. سختی سازه

Story	Stiffness X KN/cm	Stiffness Y KN/cm
Roof	312.99	0
Story 4	570.28	0
Story 3	785.25	0
Story 2	1050.59	0
Story 1	1923.57	0
Roof	0	309.49
Story 4	0	552.7
Story 3	0	756.47
Story 2	0	998.16
Story 1	0	1820.1

Table 4. Stiffness of structure

بعد از گرفتن خروجی سختی جانبی طبقات از نرم‌افزار ETABS باید سختی معادل طبقه را از فرمول ۱ (لطف الهی [25]) محاسبه نمود.

$$k'_i = \frac{\sum_{q=1}^n m_q \emptyset_q^*}{\Delta \emptyset_q^*} \quad (1)$$

با فرض خطی بودن مُد اول

$$\emptyset = \{0.2, 0.4, 0.6, 0.8, 1\}$$

$$[T_s][k'][T][T]^{-1}\{\emptyset^*\} = [T_s][M]\{\emptyset^*\} \quad (2)$$

مشخصات مدل سازه به صورت زیر است:

سازه مورد نظر در منطقه‌ای با خطر نسبی زیاد (مطابق پهنه‌بندی زلزله آیین نامه ۲۸۰۰ ایران) قرار گرفته است. خاک محل سازه از نوع تیپ سه مطابق دسته‌بندی آیین نامه ۲۸۰۰ ایران فرض شده است. ارتفاع طبقات  $3/2$  متر است. سازه در هر دو جهت دارای سیستم قاب خمی با ستون‌های CFT و با شکل پذیری متوسط است. سقف طبقات تیرچه و دیافراگم کف هر طبقه صلب فرض شده است. محل اتصال ستون به فندانسیون گیردار فرض شده است. مقطع ستون‌ها به شکل قوطی پرشده با بتن و تیرها از IPE بوده و از رکود یازده زلزله که مشخصات آنها در جدول (۳) ارائه شده، برای انجام تحلیل سازه در این مطالعه استفاده شده است.

جدول ۳. مشخصات رکوردهای زلزله‌های اعمالی برای تحلیل سازه

Earthquake	Country	station	Year
Imperial Valley	USA	El Centro	1940
Imperial Valley	USA	Brawley Airport	1979
Northridge	USA	Beverly Hills	1994
San Fernando	USA	Hollywood Stor	1971
Tabas	IRAN	Boshrooyeh	1978
Duzce	Turkey	Bolu	1999
Duzce	Turkey	Lamont	1999
KOBE	Japan	Amagasaki	1995
KOBE	Japan	Kakogawa	1995
Landers	USA	Desert Hot Springs	1992
Landers	USA	Yermo Fire Station	1992

Table 3. Specification of earthquake records used for analysis

بعد از تحلیل، طراحی و کنترل جابه‌جایی سازه و پذیرش نتایج طراحی سازه در گام اول برای ادامه کار و طراحی سازه در گام دوم ۲۵ درصد نیروی زلزله (با کاهش ۲۵ درصدی ضریب زلزله معروف شده به نرم‌افزار) کاهش داده شده است. سازه گام اول را برای نیروی جدید زلزله (براساس ۷۵ درصد نیروی زلزله سازه گام اول) دوباره تحلیل و طراحی شده است. در گام سوم برای طراحی سازه با مهاربند و میراگر اصطکاکی دورانی، به سازه گام دوم مهاربند و میراگر اصطکاکی دورانی اضافه شده و نیروی زلزله را برابر نیروی زلزله (با اعمال ضریب زلزله، برای ضریب زلزله سازه در گام اول) اعمال شده به سازه گام اول در نظر گرفته شده است.

## علی ستاری و همکاران

برای محاسبه سختی کل طبقات از فرمول ۴ استفاده شده است.  
که نتایج در جدول (۸) محاسبه شده است.

$$k_{total} = \omega^2 k_i \quad (4)$$

جدول ۸ سختی جانبی سازه گام دوم و سختی معادل کل

K0.75(story)	K'	$\omega$	K(total)
kN/mm	kN-s <sup>2</sup> /mm	Rad/s	kN/mm
23.42355	1.64	7.3	87.13554
41.31029	3.07	7.3	163.6199
53.13606	4.16	7.3	221.5322
65.14879	4.89	7.3	260.4736
117.6212	5.26	7.3	280.1179

Table 8. Structural stiffness is the second step and stiffness is equivalent total

در جدول (۹) سختی و سطح مقطع مهاربند محاسبه شده است.

جدول ۹. سختی میراگر

K (total) kN/mm	K0.75(story) kN/mm	K4 damper kN /mm	angle Cos(β)	K1 dampe kN /mm
87.13	23.42	63.71	0.815	19.54
163.62	41.31	122.31	0.815	37.51
221.53	53.14	168.39	0.815	51.64
260.47	65.15	195.33	0.815	59.90
280.12	117.62	162.49	0.815	49.83

Table 9. Stiffness dampers

با ترکیب رابطه ۵ و ۶ رابطه ۷ بدست می آید.

$$K = \frac{AE}{L} \rightarrow A = \frac{KL}{E} \quad (5)$$

$$f = \frac{P}{A} \rightarrow P = fA \quad (6)$$

$$P = \frac{fKL}{E} \rightarrow P_{slip} = \frac{0.8f_{cr}KL}{E} \quad (7)$$

با در نظر گرفتن نیروی لغزش میراگر به مقدار ۸٪ نیروی کمانشی، نیروی لغزش میراگر به دست آمد است.

در جدول (۱۰) سطح مقطع مهاربند و نیروی لغزش میراگر محاسبه شده است.

جدول ۱۰. سطح مقطع و نیروی لغزش میراگر

A(cm <sup>2</sup> )	KL/r	Fe	Fc	Pc	Pslip(KN)
5.50	100	0.193	0.170	83.932	67.146
10.56	100	0.193	0.170	161.127	128.902
14.53	100	0.193	0.170	221.840	177.472
16.86	100	0.193	0.170	257.315	205.852
14.02	100	0.193	0.170	214.068	171.255

Table .10. Area section and slip force of the damper

بررسی رفتار قاب‌های فولادی با ستون‌های پر شده با بتن (CFT)

جرم طبقات و مرکز جرم طبقات برای سازه گام اول که توسط نرم‌افزار ETABS محاسبه شده در جدول (۵) نشان داده شده است.

جدول ۵. جرم و مرکز جرم طبقات سازه

Story	Mass X KNs <sup>2</sup> /cm	Mass X KNs <sup>2</sup> /cm	XCM cm	YCM cm
Roof	3.27	3.27	1084.6	734.7
Story 4	3.588	3.588	1095.4	748.3
Story 3	3.622	3.622	1098.7	752.5
Story 2	3.653	3.653	1098.5	752.4
Story 1	3.686	3.686	1098	752

Table 5. The mass and center of mass of the structure classes

سختی جانبی معادل طبقات در جدول (۶) محاسبه شده است.

جدول ۶. جرم طبقات و سختی معادل برای سازه گام اول

story	Mass(KN)	q	m*q	$\Sigma$	$\Delta-q$	K'(KN)
5	3.270	1.0	0.33	0.33	0.2	1.64
4	3.589	0.8	0.29	0.61	0.2	3.07
3	3.6224	0.6	0.22	0.83	0.2	4.16
2	3.6537	0.4	0.15	0.98	0.2	489
1	3.863	0.2	0.07	1.05	0.2	5.26

Table . 6. Floor mass and equivalent Stiffness for the first step structure

سرعت زاویه‌ای از فرمول ۳، و سختی سازه گام دوم با استفاده از نرم‌افزار ETABS محاسبه شده است که در جدول (۷) آمده است.

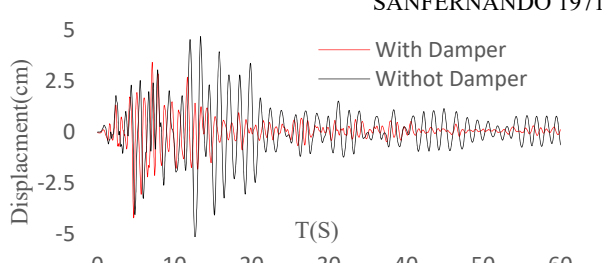
$$\omega^2 = \frac{\emptyset_{roof}^* C_0 S_a}{d_{max,roof}} \quad C_0 = 1.4 \quad (3)$$

جدول ۷. سختی سازه

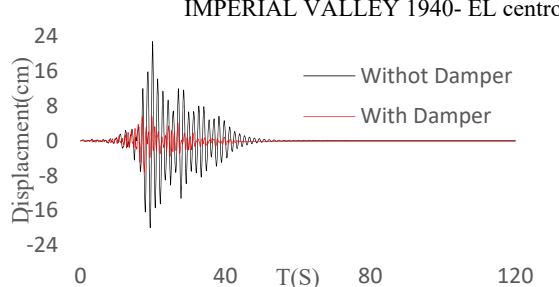
Story	Stiffness X KN/cm	Stiffness Y KN/cm
Roof	23.98	0
Story 4	41.23	0
Story 3	54.3	0
Story 2	66.27	0
Story 1	119.33	0
Roof	0	23.43
Story 4	0	41.32
Story 3	0	53.13
Story 2	0	65.18
Story 1	0	117.77

Table 7. Stiffness of structure

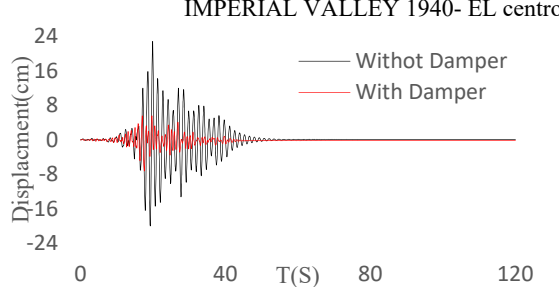
شکل ۳. نمودار جابه‌جایی مرکز جرم بام در جهت طولی تحت زلزله SANFERNANDO 1971

**Fig .3.** Displacement of Roof mass diagram in longitudinal direction under earthquake SANFERNANDO 1971

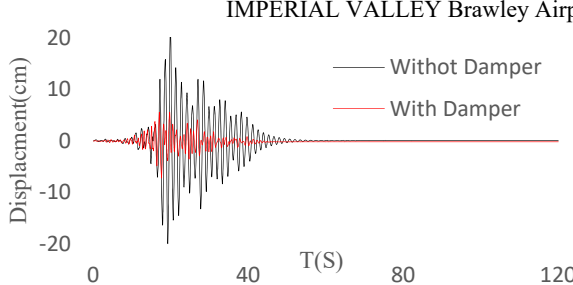
شکل ۴. نمودار جابه‌جایی مرکز جرم بام در جهت عرضی تحت زلزله IMPERIAL VALLEY 1940- EL centro

**Fig .4.** Displacement of Roof mass diagram in transverse direction under earthquake IMPERIAL VALLEY 1940- EL centro

شکل ۵. نمودار جابه‌جایی مرکز جرم بام در جهت طولی تحت زلزله IMPERIAL VALLEY 1940- EL centro

**Fig .5.** Displacement of Roof mass diagram in longitudinal direction under earthquake IMPERIAL VALLEY 1940 - EL centro

شکل ۶. نمودار جابه‌جایی مرکز جرم بام در جهت عرضی تحت زلزله IMPERIAL VALLEY Brawley Airport

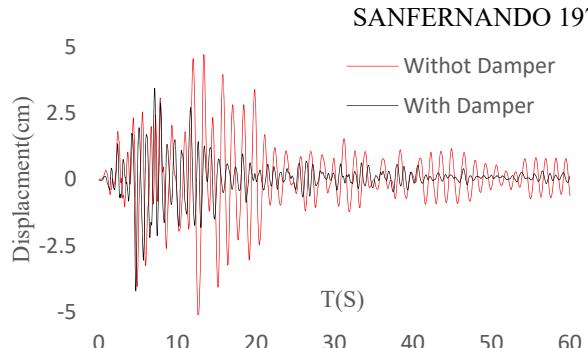
**Fig .6.** Displacement of Roof mass diagram in longitudinal direction under earthquake IMPERIAL VALLEY Brawley Airport

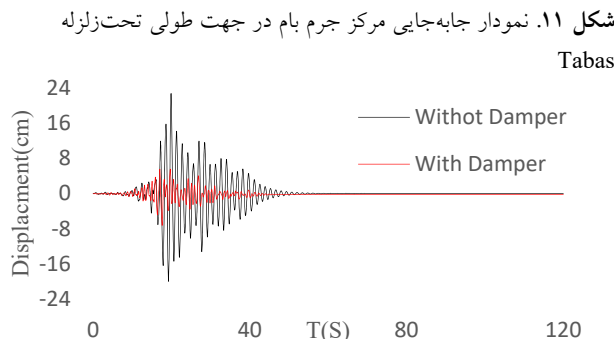
مقادیر سختی و سطح مقطع مهاربند را برای طراحی سازه با مهاربند و میراگر در نرم افزار ETABS وارد نموده است و در دهانه‌هایی از سازه که مورد نظر بوده است در دو جهت طولی و عرضی سازه، مهاربند با میراگر دورانی اصطکاکی به سازه اضافه شده است. و ضریب زلزله سازه، معادل ضریب زلزله سازه گام اول در نظر گرفته شده است. (مهاربندها باید نیروی جانبی ایجاد شده تحت ۲۵ درصد مازاد بر ۷۵ درصد نیروی جانبی زلزله را تحمل نمایند). سازه مجدداً تحلیل و طراحی شده است. (با توجه به اینکه در مرحله قبل سازه تحلیل و طراحی شده بود و مقادیر جابه‌جایی سازه کنترل شده بود) ابعاد تیر و ستون‌ها در این طراحی تغییر نکرده است و با توجه به اضافه شدن مهاربند و میراگرهای اصطکاکی دورانی نتایج جابه‌جایی طبقات، کنترل شده است که در محدوده قابل قبول بوده است.

## ۵- نتایج تحلیل نرم افزار ETABS

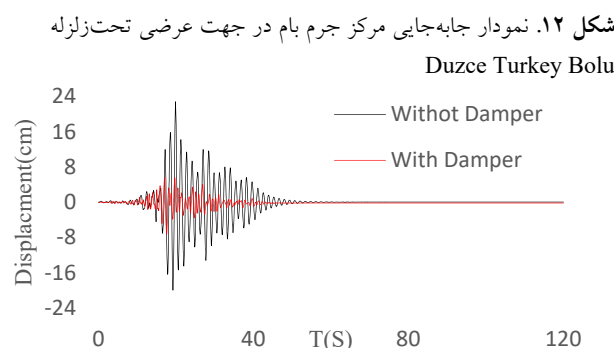
نمودار مقایسه جابه‌جایی مرکز جرم بام برای سازه (با مهاربند و میراگر اصطکاکی دورانی) با سازه اولیه (بدون مهاربند و میراگر اصطکاکی دورانی) در شکل‌های (۲) الی (۲۳) نشان داده شده است.

شکل ۲. نمودار جابه‌جایی مرکز جرم بام در جهت عرضی تحت زلزله SANFERNANDO 1971

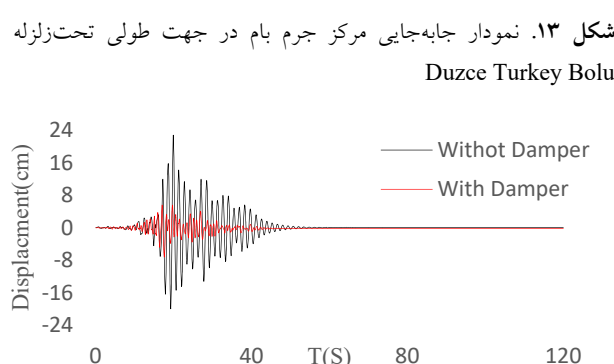
**Fig .2.** Displacement of Roof mass diagram in transverse direction under earthquake SANFERNANDO 1971



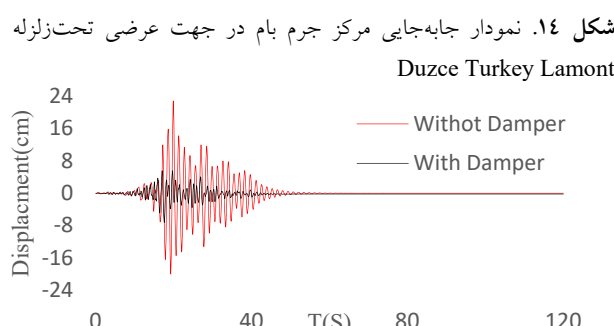
**شکل ۱۱.** نمودار جابه‌جایی مرکز جرم بام در جهت طولی تحت زلزله Tabas



**شکل ۱۲.** نمودار جابه‌جایی مرکز جرم بام در جهت عرضی تحت زلزله Duzce Turkey Bolu

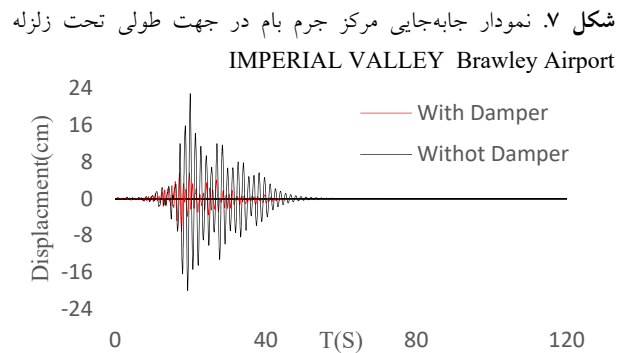


**شکل ۱۳.** نمودار جابه‌جایی مرکز جرم بام در جهت طولی تحت زلزله Duzce Turkey Bolu

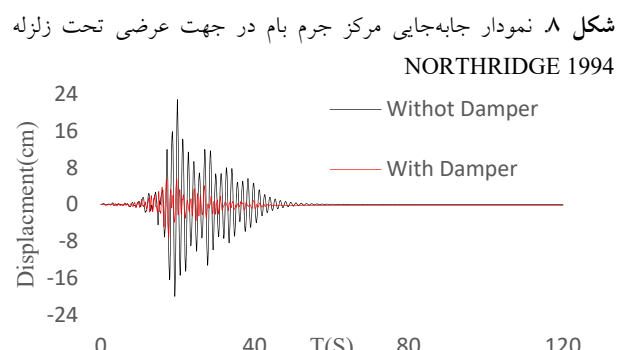


**شکل ۱۴.** نمودار جابه‌جایی مرکز جرم بام در جهت عرضی تحت زلزله Duzce Turkey Lamont

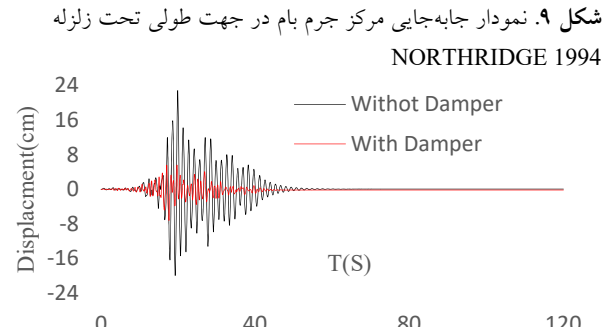
بررسی رفتار قاب‌های فولادی با ستون‌های پر شده با بتن (CFT)



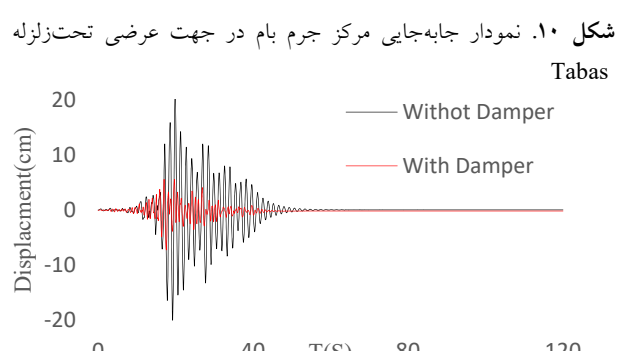
**شکل ۷.** نمودار جابه‌جایی مرکز جرم بام در جهت طولی تحت زلزله IMPERIAL VALLEY Brawley Airport



**شکل ۸.** نمودار جابه‌جایی مرکز جرم بام در جهت عرضی تحت زلزله NORTHRIDGE 1994

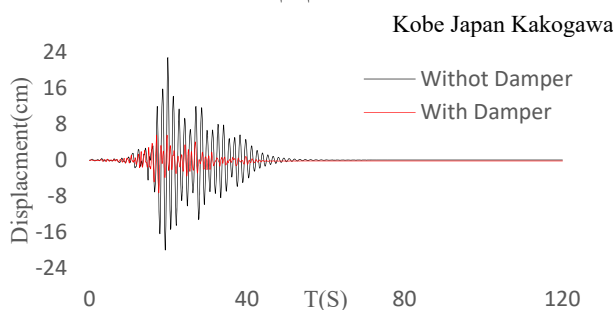


**شکل ۹.** نمودار جابه‌جایی مرکز جرم بام در جهت طولی تحت زلزله NORTHRIDGE 1994



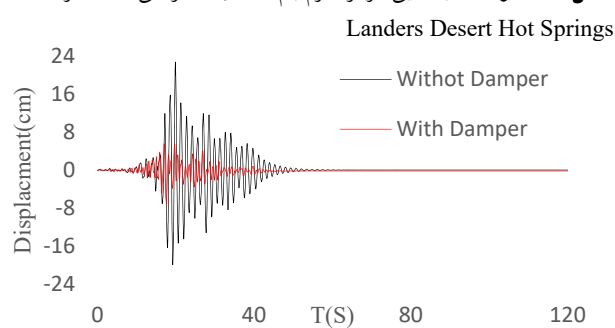
**شکل ۱۰.** نمودار جابه‌جایی مرکز جرم بام در جهت عرضی تحت زلزله Tabas

شکل ۱۹. نمودار جابه‌جایی مرکز جرم بام در جهت طولی تحت زلزله



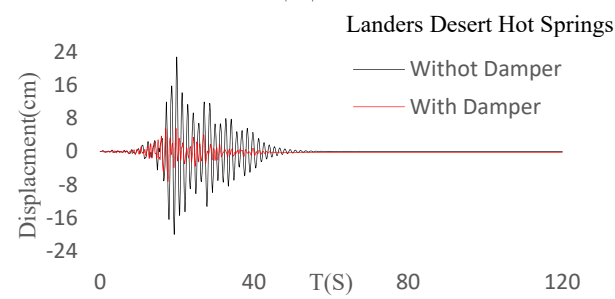
**Fig .19.** Displacement of Roof mass diagram in longitudinal direction under earthquake Kobe Japan Kakogawa

شکل ۲۰. نمودار جابه‌جایی مرکز جرم بام در جهت عرضی تحت زلزله



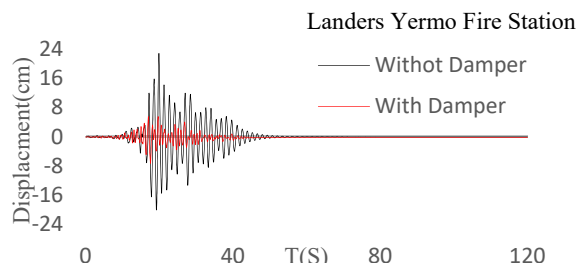
**Fig .20.** Displacement of Roof mass diagram in transverse direction under earthquake Landers Desert Hot Springs

شکل ۲۱. نمودار جابه‌جایی مرکز جرم بام در جهت طولی تحت زلزله



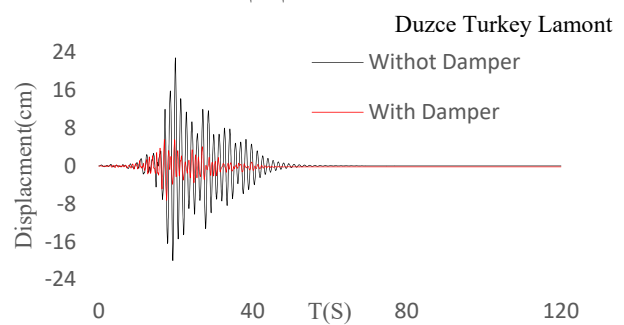
**Fig .21.** Displacement of Roof mass diagram in longitudinal direction under earthquake Landers Desert Hot Springs

شکل ۲۲. نمودار جابه‌جایی مرکز جرم بام در جهت عرضی تحت زلزله



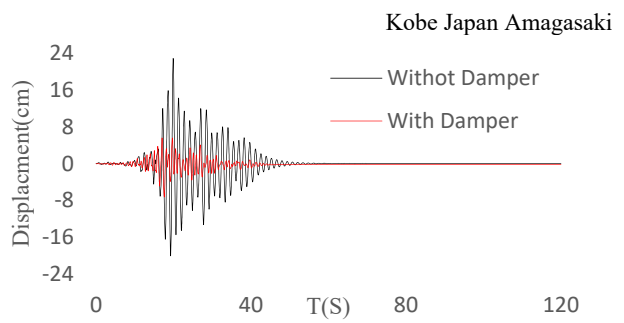
**Fig .22.** Displacement of Roof mass diagram in transverse direction under earthquake Landers Yermo Fire Station

شکل ۱۵. نمودار جابه‌جایی مرکز جرم بام در جهت طولی تحت زلزله



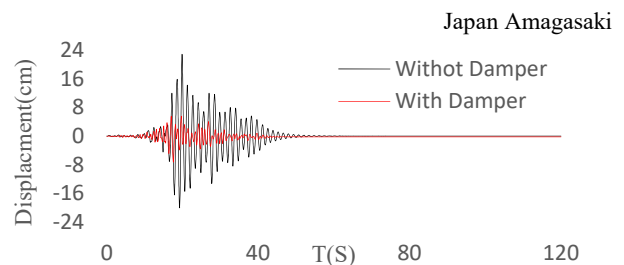
**Fig .15.** Displacement of Roof mass diagram in longitudinal direction under earthquake Duzce Turkey Lamont

شکل ۱۶. نمودار جابه‌جایی مرکز جرم بام در جهت عرضی تحت زلزله



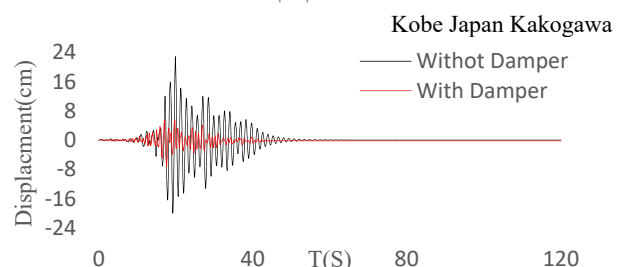
**Fig .16.** Displacement of Roof mass diagram in transverse direction under earthquake Kobe Japan Amagasaki

شکل ۱۷. نمودار جابه‌جایی مرکز جرم بام در جهت طولی تحت زلزله

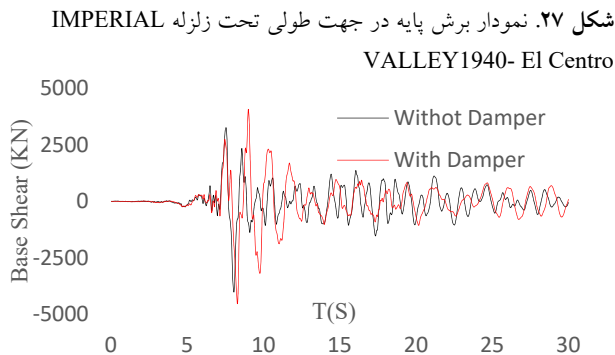


**Fig .17.** Displacement of Roof mass diagram in longitudinal direction under earthquake Kobe Japan Amagasaki

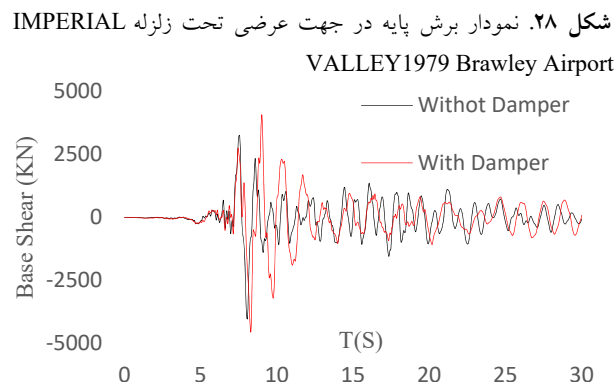
شکل ۱۸. نمودار جابه‌جایی مرکز جرم بام در جهت عرضی تحت زلزله



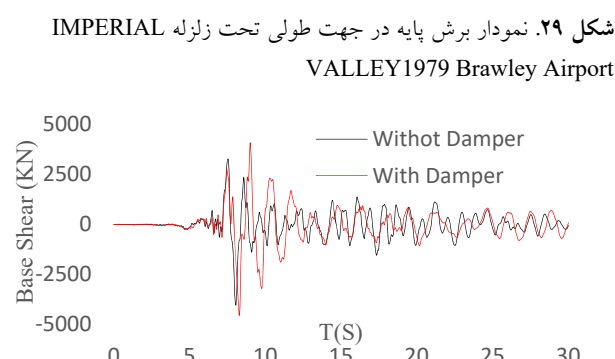
**Fig .18.** Displacement of Roof mass diagram in transverse direction under earthquake Kobe Japan Kakogawa



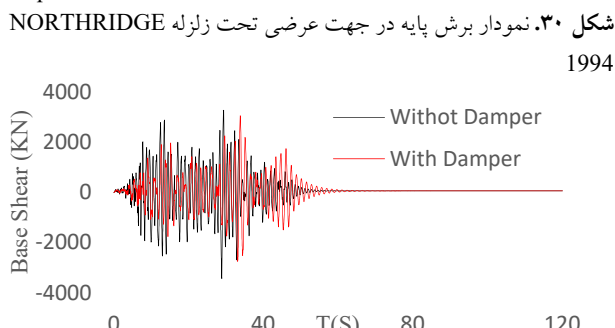
شکل ۲۷. نمودار برش پایه در جهت طولی تحت زلزله IMPERIAL VALLEY1940- El Centro



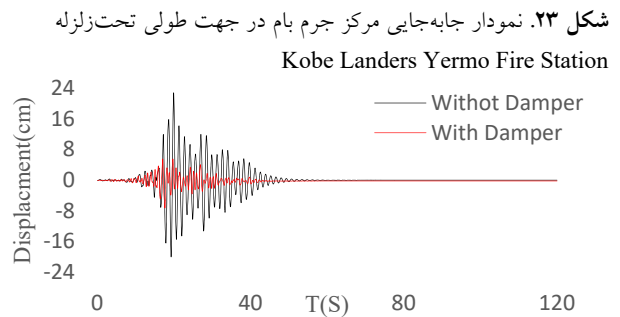
شکل ۲۸. نمودار برش پایه در جهت عرضی تحت زلزله IMPERIAL VALLEY1979 Brawley Airport



شکل ۲۹. نمودار برش پایه در جهت طولی تحت زلزله IMPERIAL VALLEY1979 Brawley Airport



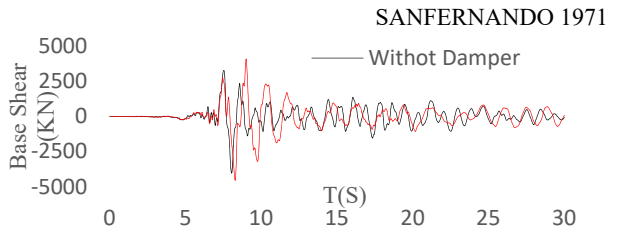
شکل ۳۰. نمودار برش پایه در جهت عرضی تحت زلزله NORTHRIDGE 1994



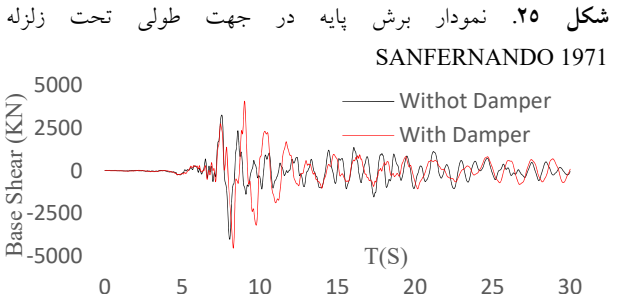
شکل ۲۳. نمودار جایه‌جایی مرکز جرم بام در جهت طولی تحت زلزله Kobe Landers Yermo Fire Station

نمودارهای مقایسه برش پایه برای سازه (با مهاربند و میراگر اصطکاکی دورانی) با سازه اولیه (بدون مهاربند و میراگر اصطکاکی دورانی) تحت اثر رکود زلزله‌های معروفی شده در جدول ۳ در شکل‌های ۲۴ الی ۴۵ نشان داده شده است.

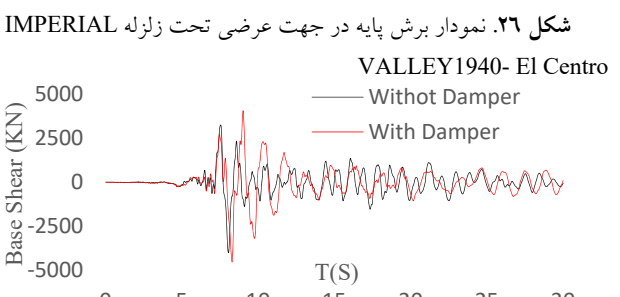
شکل ۲۴. نمودار برش پایه در جهت عرضی تحت زلزله SANFERNANDO 1971



شکل ۲۴. نمودار برش پایه در جهت عرضی تحت زلزله SANFERNANDO 1971

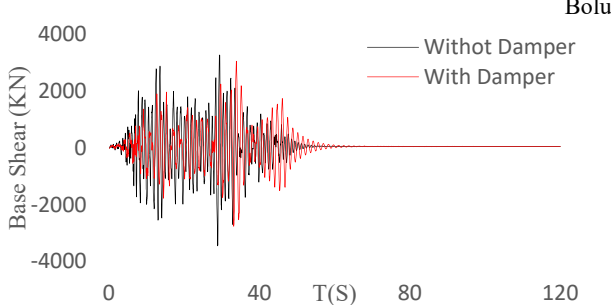


شکل ۲۵. نمودار برش پایه در جهت طولی تحت زلزله SANFERNANDO 1971

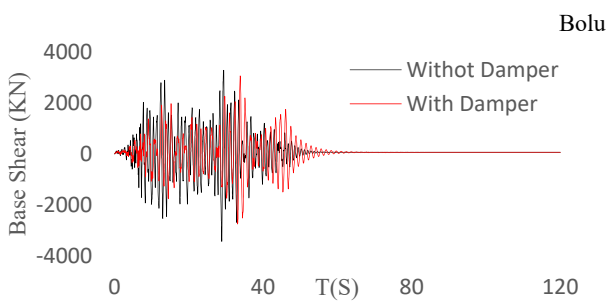


شکل ۲۶. نمودار برش پایه در جهت عرضی تحت زلزله IMPERIAL VALLEY1940- El Centro

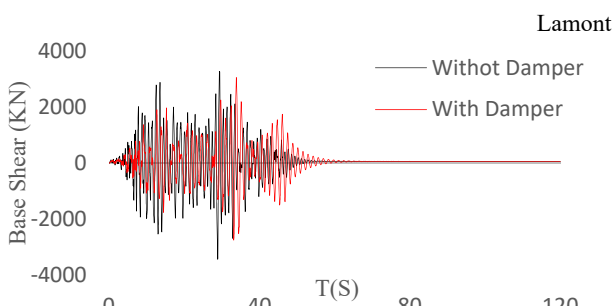
شکل ۳۴. نمودار برش پایه در جهت عرضی تحت زلزله Duzce Turkey Bolu

**Fig .34.** Base Shear diagram in transverse direction under earthquake Duzce Turkey Bolu

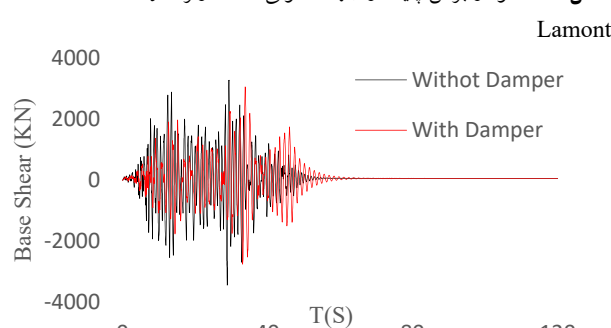
شکل ۳۵. نمودار برش پایه در جهت طولی تحت زلزله Duzce Turkey Bolu

**Fig .35.** Base Shear diagram in longitudinal direction under earthquake Duzce Turkey Bolu

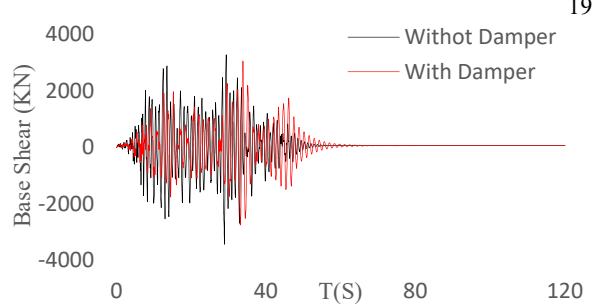
شکل ۳۶. نمودار برش پایه در جهت عرضی تحت زلزله Duzce Turkey Lamont

**Fig .36.** Base Shear diagram in transverse direction under earthquake Duzce Turkey Lamont

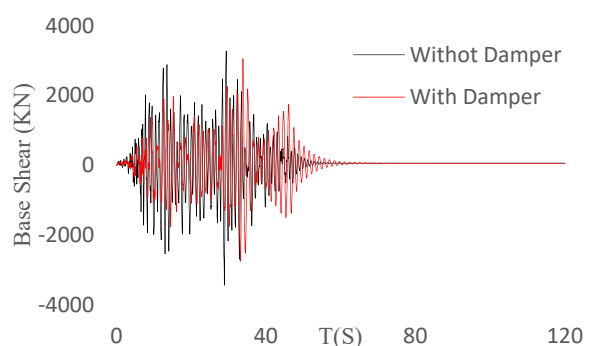
شکل ۳۷. نمودار برش پایه در جهت طولی تحت زلزله Duzce Turkey Lamont

**Fig .37.** Base Shear diagram in longitudinal direction under earthquake Duzce Turkey Lamont

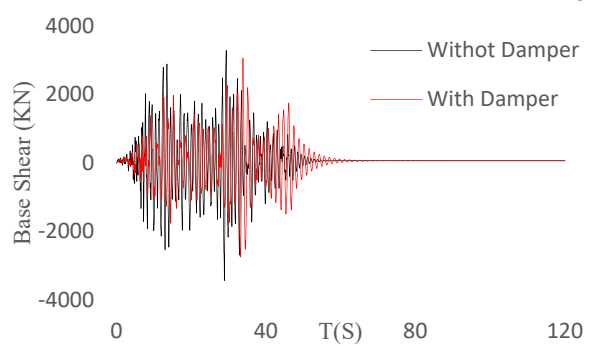
شکل ۳۱. نمودار برش پایه در جهت طولی تحت زلزله NORTHridge 1994

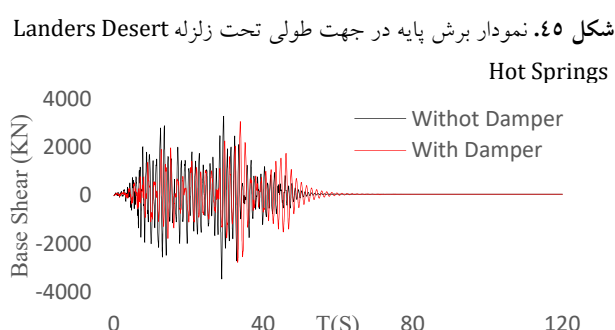
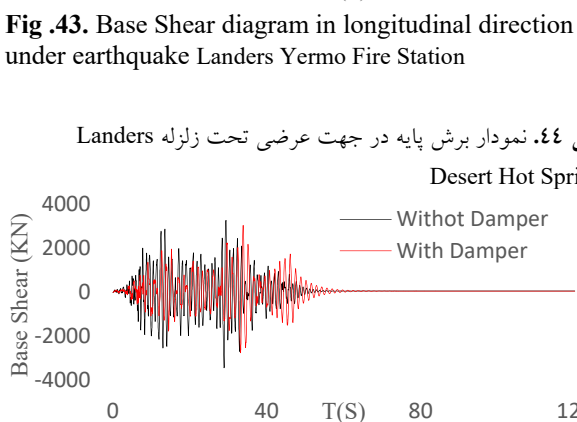
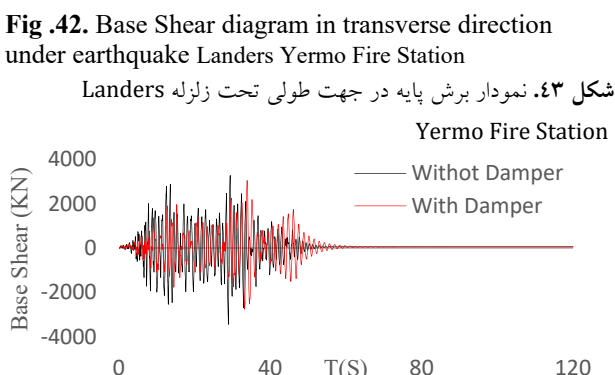
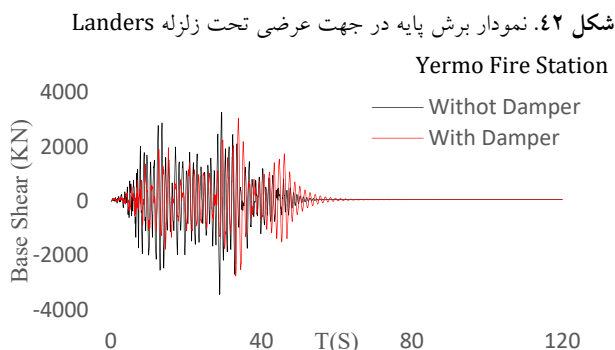
**Fig .31.** Base Shear diagram in longitudinal direction under earthquake NORTHridge 1994

شکل ۳۲. نمودار برش پایه در جهت عرضی تحت زلزله Tabas

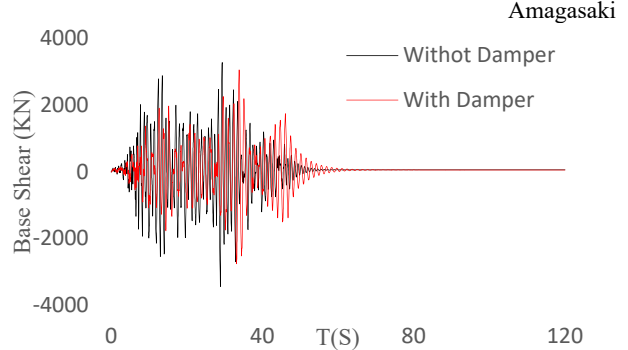
**Fig .32.** Base Shear diagram in transverse direction under earthquake Tabas

شکل ۳۳. نمودار برش پایه در جهت طولی تحت زلزله Tabas

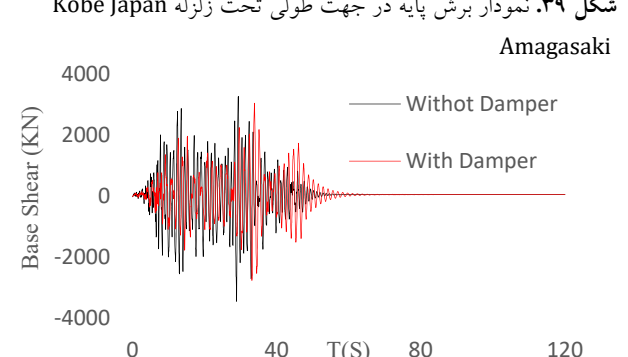
**Fig .33.** Base Shear diagram in longitudinal direction under earthquake Tabas



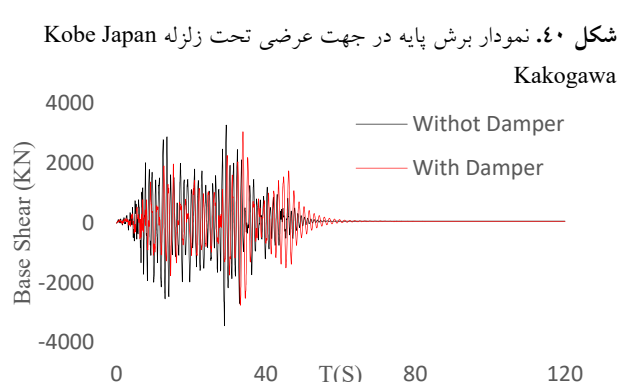
شکل ۳۸. نمودار برش پایه در جهت عرضی تحت زلزله Kobe Japan Amagasaki



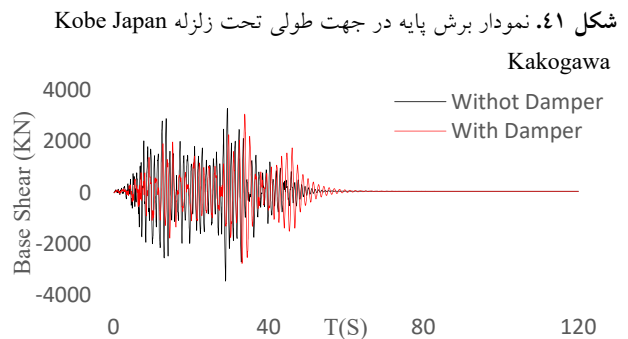
شکل ۳۹. نمودار برش پایه در جهت طولی تحت زلزله Kobe Japan Amagasaki



شکل ۴۰. نمودار برش پایه در جهت عرضی تحت زلزله Kobe Japan Kakogawa



شکل ۴۱. نمودار برش پایه در جهت طولی تحت زلزله Kobe Japan Kakogawa



شکل ۴۲. نمودار برش پایه در جهت عرضی تحت زلزله Kobe Japan Kakogawa

قرار گرفته‌اند. که بادیندها در صفحه بادیند به راحتی نسبت به هم می‌توانستند جایه‌جا شوند.

شکل ۴۶. قاب فولادی مهاربندی شده با ستون‌های CFT و میراگرهاي اصطکاكي دوراني



**Fig .46.** Steel frame bracing with columns CFT and rotary friction dampers

میراگرهاي اصطکاكي دوراني مدل‌سازی شده در نرم‌افزار ABAQUS در شکل (۴۶) نشان داده شده است.

شکل ۴۷. میراگر اصطکاكي دوراني



**Fig .47.** Rotary friction damper

## ۸- بارگذاري در نرم افزار ABAQUS

با توجه به دستورالعمل استفاده از میراگرها در طراحی و مقاوم‌سازی ساختمان‌ها ضابطه شماره ۷۶۶ سازمان برنامه و بودجه کشور [۲۶] که در سال ۱۳۹۷ منتشر شده است. هر میراگر باید تحت اثر بار ثقلی با شرایط نصب قرار گیرد. بارگذاري انجام شده روی تیر و ستون‌ها همان بار معرفی شده، و یا خروجی گرفته شده از نرم‌افزار ETABS بوده است.

### ۱-۸ بارگذاري روی تیر

بار روی تیر برابر  $1/8$  تن بر متر طول، و تیر دارای تکیه‌گاه جانبی کافی بوده است.

### ۲-۸ بارگذاري روی ستون

بار روی ستون سمت چپ برابر  $97/136$  تُن و بار روی ستون سمت راست برابر  $96/421$  تُن است.

## ۶- مدل‌سازی در نرم‌افزار ABAQUS

برای بررسی عملکرد قاب مهاربندی شده با میراگرهاي اصطکاكي دوراني، و قاب بدون مهاربند از نرم‌افزار ABAQUS استفاده شده است. (مقاطع مدل‌سازی شده در نرم‌افزار ABAQUS همان نتایج طراحی نرم‌افزار ETABS هستند). ستون‌های CFT با مقطع قوطی مربع شکل با ابعاد  $24 \times 24$  سانتی‌متر و ضخامت  $1/8$  سانتی‌متر، تیر فولادی IPE300 و بادیند با مقطع قوطی به ابعا  $12 \times 12$  سانتی‌متر و ضخامت  $0/5$  سانتی‌متر. ستون‌های CFT به همراه تیر و بادیند و سایر اجزا تشکيل دهنده قاب به صورت Solid مدل‌سازی شده است. میراگرهاي اصطکاكي دوراني از ورق فولادی (ورق بلند به طول‌های  $48$  سانتی‌متر و عرض  $15$  سانتی‌متر و ضخامت یک سانتی‌متر و ورق کوتاه به طول  $33$  سانتی‌متر با عرض  $15$  سانتی‌متر و ضخامت یک سانتی‌متر) ساخته شده‌اند. برای مدل‌سازی تمامی لبه‌های جوش شده سازه به یکدیگر از قيد Tie و برای تعريف صفحات دارای تماس با یکدیگر از قيد Contact به صورت سطح به سطح در نرم‌افزار استفاده شد است.

## ۷- مشخصات مصالح مصرفی در ABAQUS

مشخصات مصالح مصرفی همان مصالح معرفی شده به نرم‌افزار ETABS است. که به نرم‌افزار ABAQUS معرفی شده است. در تعريف مشخصات بتن، رفتار بتن در فشار و کشش به طور کامل معرفی شده است و برای این کار از روش Concrete damage plasticity استفاده شده است. و برای معرفی رابطه تنش کرنش فشاری تک محوره بتن به نرم‌افزار از رابطه Hognestad اصلاح شده استفاده شده است.

قاب CFT همراه با مهاربند و میراگرهاي اصطکاكي دوراني مدل‌سازی شده در نرم‌افزار ABAQUS در شکل شماره (۴۶) نشان داده شده است. اتصال تیر به ستون و اتصال پای ستون، گیردار بوده است. اتصال بادیند به میراگر و میراگر به ستون به صورت مفصلی تعريف شده بود. بادیندها به هم متصل نبوده و پلیت‌های اتصال بادیندها در وسط بادیند در طرفین عضو بادیندی

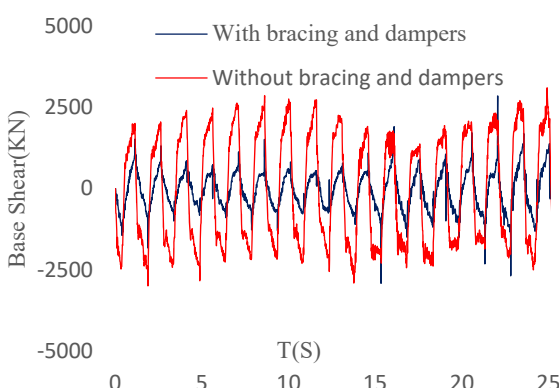
جدول ۱۱. مشخصات قاب‌ها و اثر زلزله اعمال شده

Earthquake effect applied	CFT frame type
NORTHRIDGE1994	With braces and dampers
SANFERNANDO1971	With braces and dampers
IMPERIALVALLEY1979	With braces and dampers
NORTHRIDGE1994	No braces and damper
SANFERNANDO1971	No braces and damper
IMPERIALVALLEY1979	No braces and damper
Loading protocol ATC 40	With braces and no damper

**Table 11.** Frame specifications and earthquake effect applied

بعد از تحلیل سازه دارای مهاربند و میراگر اصطکاکی دورانی در نرم‌افزار ABAQUS در مرحله بعد مهاربند و میراگر از قاب حذف شده و قاب CFT بدون مهاربند و میراگر اصطکاکی دورانی دوباره تحلیل شده است. برش پایه قاب CFT برای دو مرحله تحلیل انجام شده در شکل‌های (۴۹) و (۵۰) نشان داده شده است.

برای مقایسه، یک قاب CFT با مهاربند و بدون میراگر نیز مدل سازی و تحلیل شده است. بارگذاری قائم مانند مدل‌های قبلی بوده و بار جانی بر اساس ATC-24 مانند شکل (۵۲) است. شکل (۴۹) نمودار برش پایه قاب CFT در اثر بارقائم و بار جانی ناشی از زلزله ۱۹۷۱ SANFERNANDO از زلزله

**Fig. 49.** Base Shear diagram of CFT frame in longitudinal direction earthquake SANFERNANDO 1971

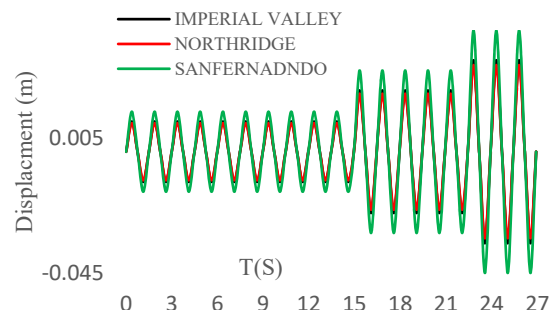
### ۳-۸- بارگذاری جانبی ستون‌ها در تراز تیر

بارگذاری جانبی اعمال شده به ستون‌ها براساس دستورالعمل استفاده از میراگرها در طراحی و مقاوم سازی ساختمان‌ها برای جابه‌جایی ایجاده شده در اثر رکورد سه زلزله معروفی شده در نرم‌افزار ETABS بوده است. که سیکل‌های بارگذاری با فرکانس معادل ۱.۱۵T بارگذاری شده است.

الف- ده سیکل سینوسی کامل با جابه‌جایی دستگاه میراگر متناظر با  $33/0^\circ$  برابر جابه‌جایی دستگاه تحت زلزله مورد انتظار.

ب- پنج سیکل سینوسی کامل با جابه‌جایی دستگاه میراگر متناظر با  $7/60^\circ$  برابر جابه‌جایی دستگاه تحت زلزله مورد انتظار.

پ- سه سیکل سینوسی کامل با جابه‌جایی دستگاه میراگر متناظر با  $10/1^\circ$  برابر جابه‌جایی دستگاه تحت زلزله مورد انتظار که پروتکل بارگذاری آن در شکل (۴۸) نشان داده شده است.

**شکل ۴۸.** پروتکل بارگذاری جانبی در اثر زلزله**Fig. 48.** Protocol loading horizontal effect Earthquake

### ۹- تعداد قاب‌های بارگذاری و تحلیل شده

تعداد ۷ قاب CFT یکسان از نظر ابعاد و بار قائم که مشخصات آنها در جدول (۱۱) آمده است، در سه حالت با مهاربند و میراگر اصطکاکی دورانی، با مهاربند و بدون میراگر اصطکاکی دورانی و بدون مهاربند و میراگر اصطکاکی دورانی و تحت اثر پروتکل بارگذاری به صورت بار چرخه‌ای جانبی، بارگذاری و تحلیل شده‌اند.

شکل .۵۳. نمودار برش پایه قاب CFT با مهاربند و بدون میراگر تحت بارگذاری ATC-24

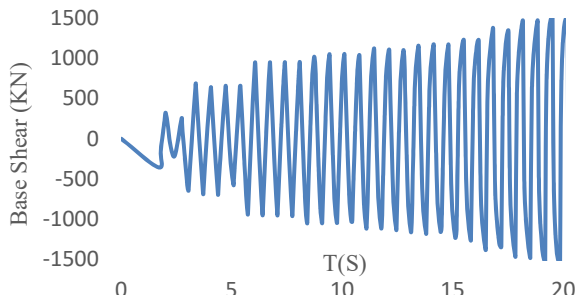


Fig .53. Base Shear diagram in longitudinal direction effect loading ATC-24

شکل .۵۴. نمودار جایه‌جایی قاب CFT

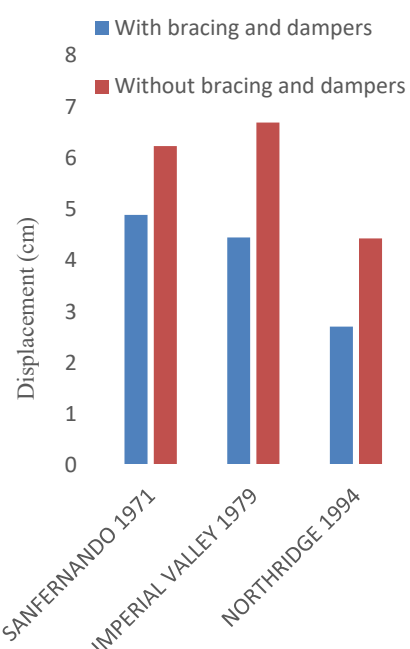


Fig .54. Diagram of displacement for CFT frame

شکل .۵۰. نمودار برش پایه قاب CFT در اثر بارقائم و بار جانی ناشی از زلزله IMPERIAL VALLEY 1979

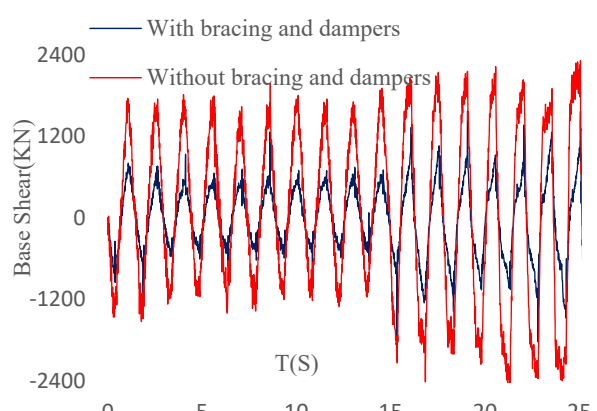


Fig .50. Base Shear diagram of CFT frame in longitudinal direction earthquake IMPERIAL VALLEY 1979

شکل .۵۱. نمودار برش پایه قاب CFT در اثر بارقائم و بار جانی ناشی از زلزله NORTHRIDGE 1994

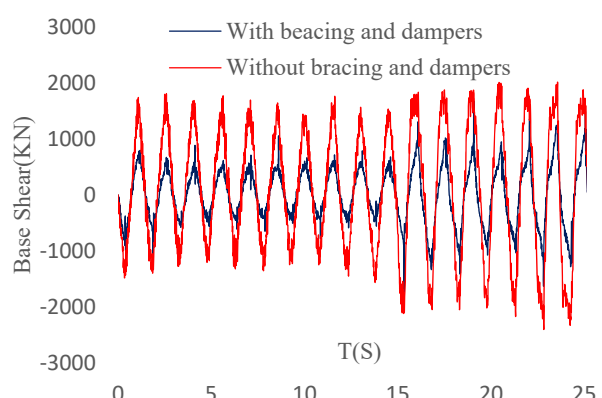


Fig .51. Base Shear diagram of CFT frame in longitudinal direction earthquake NORTHRIDGE 1994

شکل .۵۲. پروتکل بارگذاری جانبی بر اساس ATC-24

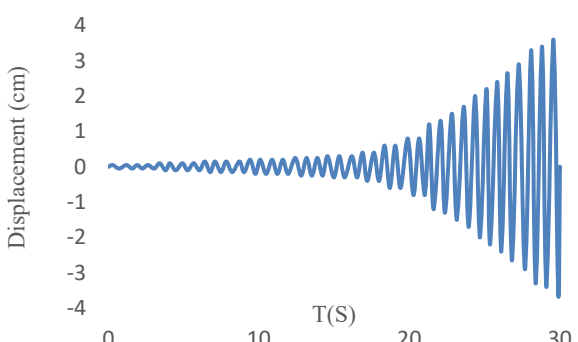


Fig .52. Based on the loading protocol ATC-24

شکل .۵۷. نمودار هیسترزیس قاب CFT با مهاربند و بدون میراگر در اثر بارگذاری ATC -24

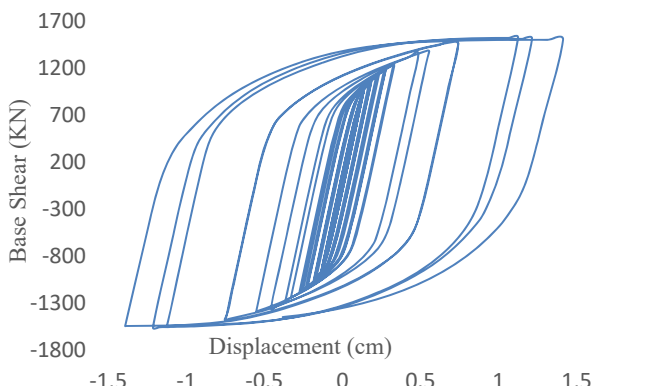


Fig .57. Hysteresis diagram of CFT frame with brace and without dampers under loading ATC -24

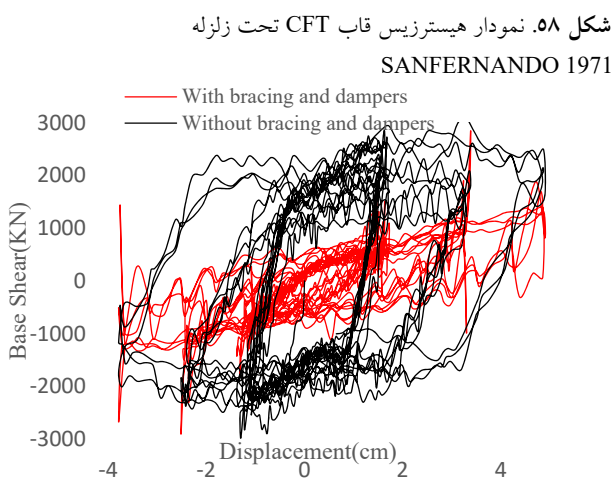


Fig .58. Hysteresis diagram of CFT frame without brace and dampers under earthquake SANFERNANDO 1971

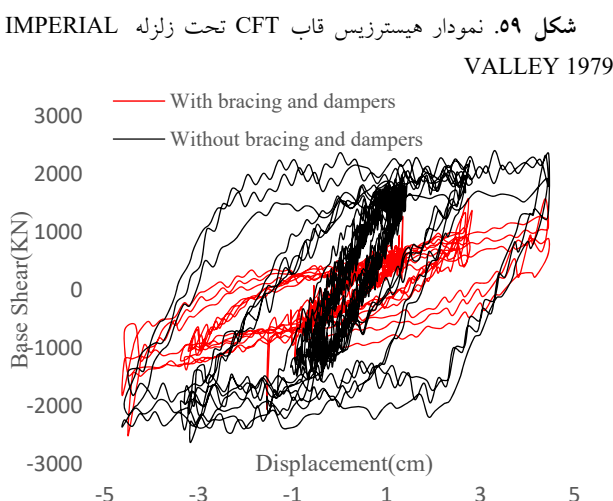


Fig .59. Hysteresis diagram of CFT frame without brace and dampers under earthquake IMPERIAL VALLEY 1979

شکل .۵۵. نمودار برش پایه قاب CFT

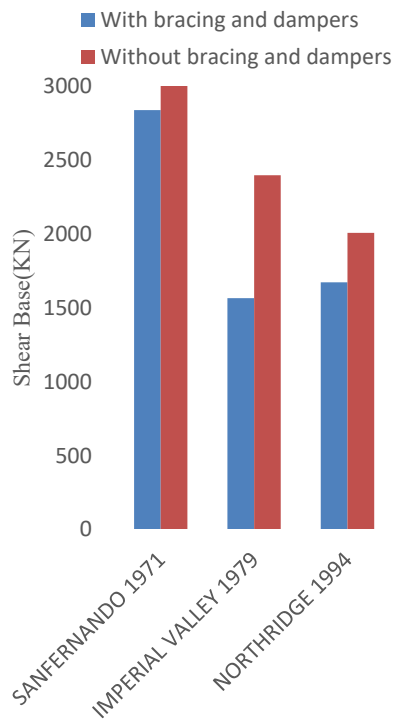


Fig .55. Diagram of Base Shear for CFT frame

در شکل (۵۶) درصد کاهش برش پایه برای قاب CFT با مهاربند و میراگر اصطکاکی دورانی نسبت به قاب CFT بدون مهاربند و میراگر تحت اثر سه رکورد زلزله نشان داده شده است.

شکل .۵۶. نمودار کاهش برش پایه قاب CFT

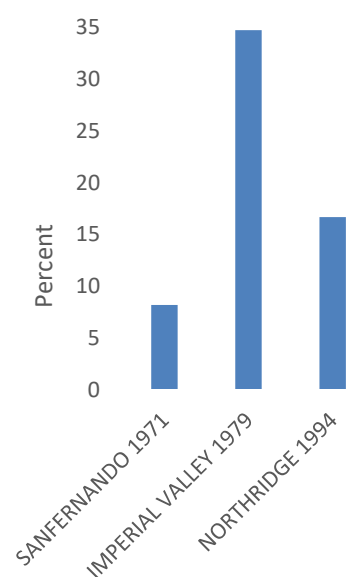
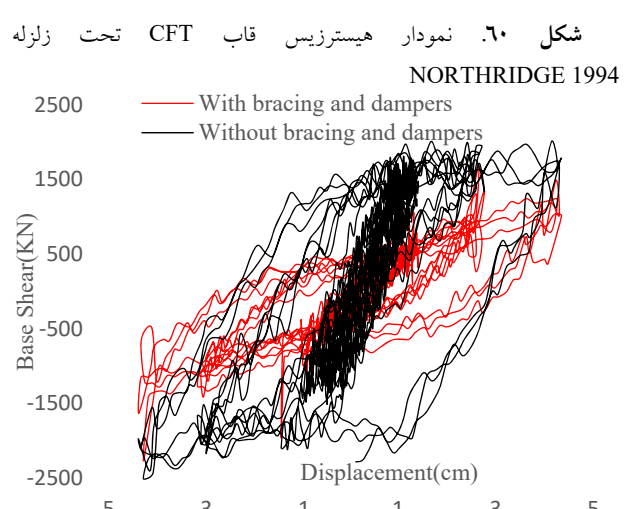


Fig .56. Diagram of Base Shear decreasing for CFT frame

۱۶ الی ۳۴ درصد متغیر بوده است. استفاده از مهاربند و میراگر اصطکاکی دورانی در نرم افزار اجزاء محدود ABAQUS تحت اثر رکوردهای اعمال شده باعث کاهش برش پایه شده است. مقدار کاهش از ۸ تا ۳۴/۷ درصد متغیر بوده است. کاهش برش پایه در شکل های ۵۸ الی ۶۰ (نمودار هیسترزیس) بطور واضح نشان داده شده است.

## ۱۱- مراجع

- [1] 1-Mualla I. & Belev B, editors. Overview of Recent Projects Implementing Rotational Friction Dampers. 16th World Conference on Earthquake Engineering Santiago, Chile; 2017.
- [2] 2-Zahrai S, Mahdi. & Bayat M. 2019 Impact of Friction Dampers on Improving Seismic Performance of Rigid and Semi-Rigid Steel Frames. *Iranian Society of Steel Structures*,19.
- [3] 3-Ezzati R., Monir H. & Amiri G, R. 1395 Experimental Studies of New Hybrid Inertia Rotational Friction Damper and the Compare of It's Performance with Inertia Rotational Viscous Damper. *Iranian Society of Steel Structures* 20.
- [4] 4-Lotfollahi Iaqin MA. & Khaleghi R. Seismic refurbishment of buildings with conventional steel bending frames by viscous dampers. 1389.
- [5] 5-Mirzabagheri S. & Aqakochak A. Investigation of the difference of performance of rotational friction dampers in bending and plain frames Steel. 1390.
- [6] 6-Moghaddam H. & Hosseini gelekolai S. Optimal seismic design of steel bending frames. 7th International Conference on Seismology and Earthquake Engineering 1394.
- [7] 7-Yasami S., Shayanfar M., Zabihi Smani M. & Sobhani D. Investigation of seismic performance of circular friction damper under earthquake
- [8] Close. 2018.
- [9] 8-Bagheri S., Hadidi A. & Bastami N. 2015 Determination of Slip Load of Friction Dampers Based on Target Ductility in Different Stories of Building Frames. *Journal of Civil and Environmental Engineering*,45(2).
- [10] 9-Huang J., Lin H., Huang P. & Wang Z. 2019 Experimental Study on Innovative Π-Shaped



**Fig. 6.0.** Hysteresis diagram of CFT frame without brace and dampers under earthquake NORTHridge 1994

## ۱۰- نتایج

بعد از مدل سازی و انجام تحلیل های صورت گرفته در نرم افزارهای اجزاء محدود ABAQUS و ETABS نتایج زیر حاصل شد.

استفاده از مهاربند به همراه میراگر اصطکاکی دورانی، جایه جایی مرکز جرم بام سازه را تحت اثر هر یک از رکوردهای مورد بحث در نرم افزار اجزاء محدود ETABS نسبت به سازه بدون مهاربند و میراگر به صورت یکسان کاهش نداده و در مواردی باعث افزایش جایه جایی نیز شده است. برای ۹ رکورد کاهشی بین ۱۳ تا ۴۹ درصد و برای ۲ رکورد افزایش بین ۲ تا ۱۷ درصد داشته است.

استفاده از مهاربند به همراه میراگر اصطکاکی دورانی، برش پایه سازه را تحت اثر هر یک از رکوردهای مورد بحث در نرم افزار اجزاء محدود ETABS به صورت یکسان کاهش نداده و در مواردی باعث افزایش برش پایه نیز شده است. برای ۸ رکورد کاهشی بین ۱۱ تا ۳۷ درصد و برای ۳ رکورد افزایشی بین ۳ تا ۲۶ درصد داشته است.

استفاده از مهاربند و میراگر اصطکاکی دورانی در نرم افزار اجزاء محدود ABAQUS تحت اثر رکوردهای اعمال شده جایه جایی سازه را نسبت به سازه بدون مهاربند و میراگر اصطکاکی دورانی کاهش داده است. مقدار این کاهش بین

- [23] 18-Qiu C., Zhang Y., Qu B., Dai C., Hou H. & Li H. 2019 Cyclic testing of seismic dampers consisting of multiple energy absorbing steel plate clusters. *Engineering Structures*, 183, 255-64.
- [24] 19-Sepahvand MF., Akbari J. & Kusunoki K. 2019 Plastic design of moment resisting frames using mechanism control. *Journal of Constructional Steel Research*, 153, 275-85.
- [25] 20-Taiyari F., Mazzolani FM. & Bagheri S. 2019 A proposal for energy dissipative braces with U-shaped steel strips. *Journal of Constructional Steel Research*, 154, 110-22.
- [26] 21-Shirkhani A., Mualla IH., Shabakhty N. & Mousavi SR. 2015 Behavior of steel frames with rotational friction dampers by endurance time method. *Journal of Constructional Steel Research*, 107, 211-22.
- [27] 22-Taiyari F., Mazzolani FM. & Bagheri S. 2019 Damage-based optimal design of friction dampers in multistory chevron braced steel frames. *Soil Dynamics and Earthquake Engineering*, 119, 11-20.
- [28] 23-Zhang A., Zhang Y., Liu A., Shao D. & Li Q. 2019 Performance study of self-centering steel frame with intermediate columns containing friction dampers. *Engineering Structures*, 186, 382-98.
- [29] 24-Mualla W I.H., Nielsen L. O., Sugisawa M. & Suzuki Y. 2012 Large Capacity Dampers for Buildings and Structures. 15th World Conference on Earthquake Engineering.
- [30] 25-Lotfollahi Iaqin MA. Structural Dynamics Booklet Civil Engineering, University of Tabriz.
- [31] 26-Manual for Structural Damping Systems in Design and Retrofitting of Buildings Manual for Structural Damping Systems in Design and Retrofitting of Buildings, 2018, Islamic Republic of Iran Plan and Budget Organization.
- [14] Beam-to-Column Connections under Cyclic Loading. *J Struct Eng*, 145.
- [15] 10-Qu B., Dai C., Qiu J., Hou H. & Qiu C. 2019 Testing of seismic dampers with replaceable U-shaped steel plates. *Engineering Structures*, 179, 625-39.
- [16] 11-Liu Y., Guo Z., Liu X., Chicchi R. & Shahrooz B. 2019 An innovative resilient rocking column with replaceable steel slit dampers: Experimental program on seismic performance. *Engineering Structures*, 183, 830-40.
- [17] 12-Ioan A., Stratan A., Dubina D., Poljansek M., Molina FJ., Taucer F., Pegon P. & Sabau G. 2016 Experimental validation of re-centring capability of eccentrically braced frames with removable links. *Engineering Structures*, 113, 335-46.
- [18] 13-Feng W., Fang C. & Wang W. 2019 Behavior and design of top flange-rotated self-centering steel connections equipped with SMA ring spring dampers. *Journal of Constructional Steel Research*, 159, 315-29.
- [19] 14-Di Lauro F., Montuori R., Nastri E. & Piluso V. 2019 Partial safety factors and overstrength coefficient evaluation for the design of connections equipped with friction dampers. *Engineering Structures*, 178, 645-55.
- [20] 15-Jia L-J., Li R-W., Xiang P., Zhou D-Y. & Dong Y. 2018 Resilient steel frames installed with self-centering dual-steel buckling-restrained brace. *Journal of Constructional Steel Research*, 149, 95-104.
- [21] 16-Kariniotakis K. & Karavasilis TL. 2019 Limits for the interstorey drift sensitivity coefficient  $\theta$  of steel MRFs with viscous dampers designed according to Eurocode 8. *Soil Dynamics and Earthquake Engineering*, 117, 203-15.
- [22] 17-Piluso V., Montuori R., Nastri E. & Paciello A. 2019 Seismic response of MRF-CBF dual systems equipped with low damage friction connections. *Journal of Constructional Steel Research*, 154, 263-77.

# Investigation of the behavior of steel frames with concrete-filled columns (CFT) in two modes of braced structures with rotational friction dampers and structures without bracing and rotational friction dampers

**Ali Sattari<sup>1</sup>, Ahmad Maleki<sup>2</sup>, Mohammad Ali Lotfollahi-Yaghin<sup>3</sup>**

- 1- Ph.D. student of structural engineering, Earthquake, of Civil Engineering, Islamic Azad University Marageh branch, Marageh, Iran
- 2- Assistant Professor, of Civil Engineering, Islamic Azad University Marageh branch, Marageh, Iran
- 3- Professor of Civil Engineering, University of Tabriz, Tabriz, Iran

**\*A.maleki@iau-maragheh.ac.ir**

## **Abstract**

Rotational friction dampers are a specific type of friction dampers which have several advantages. Dampers are used to improve the cyclic behavior of structures against forces caused by wind and earthquake. These types of dampers will cause energy dissipation by its rotating and rerotating. However, complete and comprehensive researches have not been performed on the effect of rotational friction dampers and their effect on the bearing capacity of steel frames. In this research, the behavior of concrete-filled steel tube (CFT) in two cases frame braced with rotational friction dampers and frame braced without rotational friction dampers is investigated. For verification, the results obtained from finite element method software, ABAQUS, were compared with that of experimental studies for test samples used in a building with a height of 300m in Osaka, Japan. The hysteresis curves of the modeled samples are in good agreement with the experimental results. In order to investigate the performance of steel composite frame (with CFTs) braced with rotational friction dampers towards to steel composite frame (with CFTs) braced without rotational friction dampers under the effect of three earthquake Far-field records, the structure was modeled, designed and analyzed in ETABS software. The use of bracing with rotational friction dampers has caused a decrease in the displacement of the roof's center of mass for each record mentioned above which modeled in ETABS software. It decreased by 13 to 49 % for 9 records and increased by 2 to 17 % for 2 records. The use of bracing along with rotational friction damper modeled in ABAQUS software under the effect of each record has caused a decrease in base shear. The extent of these reductions was different for each record mentioned above. In each record modeled in ETABS software, the base shear of the structure has not reduced similarly; however, in some cases, the base shear has increased. It had a decrease of 11 to 37% for 7 records and an increase of 3 to 26% for 4 records.

Then a Single-storey frame with single-span With the same materials and specifications introduced in ETABS software in ABAQUS software Has been modeled. For lateral loading of columns, the lateral loading protocol based on ATC-24 and the instructions for using dampers in the design and reinforcement of buildings have been used.

According to Regulation No. 766 of the Program and Budget Organization, the loading cycles introduced in ETABS software with a frequency of 1.15T have been used in the ABAQUS Limited Components Software to move. The use of rotary braces and crankshafts in the ABAQUS limited component software under the influence of each of the discussed records has reduced the displacement of the structure relative to the structure without braces and without rotational friction dampers of the structure mentioned above was exerted under the record effect of the same earthquake in ABAQUS software The use of bracing along with rotational friction damper modeled in ABAQUS software under the effect of each record has caused a decrease in base shear. The amount of energy reduction for records under study was not equal and varied from 8% to 34.7%. The hysteresis curves of base shear of braced structures with and without dampers are well presented.

**Keywords:** Composite steel bending frames, Energy damping, Stiffness, Circular damping, Hysteresis curve